

地中における地震動加速度の実測と解釈

建設省土木研究所 正員 栗林栄一
同 正員 岩崎敏男
同 正員 ○辻勝成

1 まえがき

構造物の耐震設計を考える場合、地震力の評価がまず第一に問題となる。地震動がその付近の地盤特性に大きく影響されるという事は、これまでに行なわれてきた数々の調査・研究からも明らかな事であるが、今後は両者について、定性的な相関関係に止まらず、さらに定量的な相関関係についても究明されねばならない。

地震動の調査としては、各種機関によって全国的な強震観測が続けられており、最近では大規模な構造物、例えば、長大橋¹⁾、高層建築物²⁾、原子力発電所³⁾などの建設に際し、架設地点での地中地震動の観測が活発になってきた。

建設省においても東京湾環状道路耐震調査の一環として、図-1に示す東京湾沿岸の3地点で地中地震動の観測が続けられている。このうち、富津岬と浮島公園の地中地震計は、それぞれ昭和45年2月と3月に埋設され、観音崎では昭和46年3月に埋設された。

今回の報告は、上記3地点の観測点のうち、富津岬と浮島公園の2箇所を対象として、実測された地中地震動加速度について2、3の検討を試みたものである。

2 観測地点の地盤概要

富津岬における観測地点付近の概略図および土質柱状図を図-2、図-3に示す。この地点はほぼ一様な砂質地盤と見なされる。

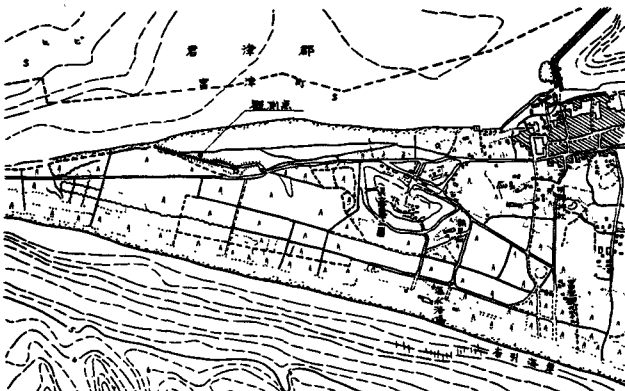


図-2 富津岬観測地点付近概略図

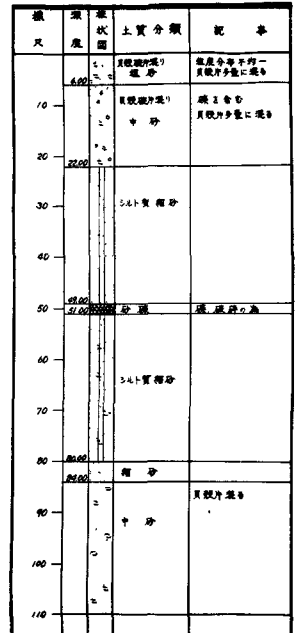


図-3 富津岬埋没地点付近の土質柱状図

地中地震計は地表面より

70mと110mの2箇所に埋設されている。

一方、浮島公園における観測地点付近の概略図および土質柱状図を図-4、図-5に示す。この地点は多摩川河口部の埋立地で、上層より、埋立土層、シルト質土層、砂質土層という構成になっている。

地中地震計は地表面より、27m, 67m, 127mの3箇所に埋設されている。

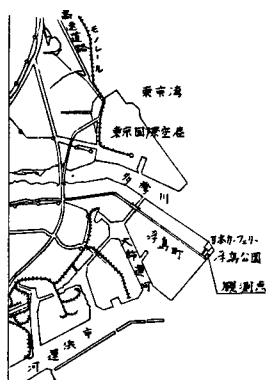


図-4 浮島公園観測付近概略図

3 地中地震観測装置の概要

浮島公園を例にとって、地中地震観測装置の構成要素と関連を図-6に示す。図中破線で囲んだ部分が地中に埋設されている換振器で、その他の観測機器は地上の観測小屋に納められている。電源部は、停電時でも蓄電池により2時間以上観測できるようになっている。

地中地震計の構造は、図-7に示すように全長2230mm、最大外径130mmの円筒型で、重量は約110kgである。内部の配置は、上部よりケーブル固定部、方位検出器、水平動換振器2成分および上下動換振器1成分となっている。このうち方位検出器は埋設後測定成分方向の方位を検出する装置である。表-1、表-2にそれぞれ地中地震計と地上用観測機器の性能と諸元を示す。

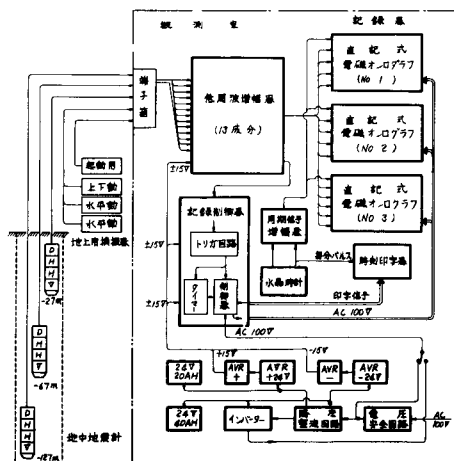


図-6 浮島公園設置の地中地震観測装置構成

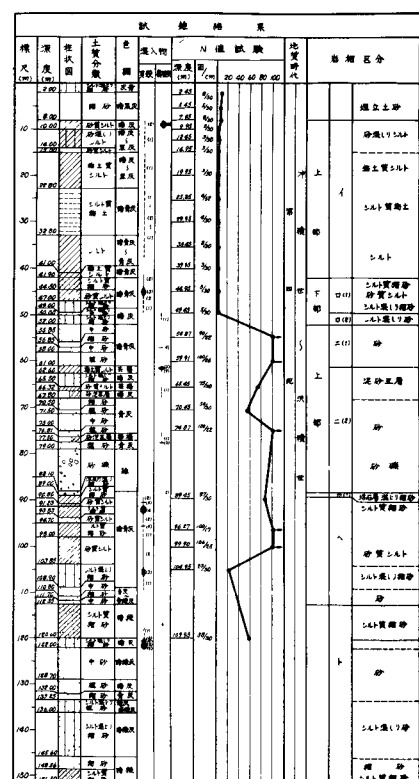


表 - 1 地中地震計の性能、諸元

品名		地中地震計	
製作台数		2 台	
寸法・重量		全長 最大外径 方位検出器 水平動換振器 上下動振子 全重量	2,230mm 130mm 790mm 370mm 360mm 約 110kg
ケーブル		12対市内対ケーブル	
外材	ケーブル	公称引張強度 外被材 仕上外被	0.3mm ² 尼龍マット被膜 ポリエチレン系樹脂 30mm
換振器	成 分	電磁式速度振子増加速度換振器 3成分(水平振子2(底面振子1)と垂直振子1(グレイジング))	
	固有振動数	4±0.2Hz	
	検出器出力範囲	0.5~30Hz	
	減衰定数	$b=10$	
	最大加速度	±400gal	
	感度	7m/V/gal 以上	
	コイル抵抗	4.5kΩ	
	外部制御抵抗	5kΩ	
検定コイル	コイル抵抗	2kΩ	
	発振器	発振器により換振器の振子を強制振動させることができる	
方位検出器	原 理	電気コンシスメータおよびフロートランジスタにより南北を検出し、水平動換振器の振子の方位を抵抗値として取り出す。	
	検出精度	±5°以内	
耐圧	ケーブル引出し口 および各接続部	30kg/cm ² (ゴムパッキン、Oリング)	
外被体	材 質	非導電性材料(クロームメッキ)	
	防 腐	ゴム系耐酸塩布による防錆処理	
測定条件	度	海面下約 100m	
	ボーリング孔 機器容積	1mのボーリング孔には1台の地中地震計 3° 偏角	

4 地中地震観測結果

観測開始より昭和45年9月末までIC得られた記録は、富津岬で6回、浮島公園で1回である。このうち昭和45年9月30日4時26分に多摩川下流で発生した地震は、浮島公園の観測地点より約10kmの地点で発生した地震で、富津岬の地表面で約30 gal、浮島公園の地表面で約20 gal程度の記録が得られた。

観測された地中地震動加速度の最大値を表-3に示す。波形の一例として、上記の多摩川下流地震による浮島公園での記録を図-8に示す。

上記地震による富津岬での記録は、同地点のスターターが上下動になっているため水平動の最大値付近からの記録しか得られていない。この点から考えても、スターターとしては、上下動、水平動いずれによつても可能とする必要があると思われる。

表 - 2 地上設置用観測機器の性能、諸元(浮島公園)

地上用換振器	水平動換振器		性能は地中地震計の換振器と同じ。	
	上下動換振器			
	起動用換振器			
低周波增幅器	最大利得 利得調整 感度切換 周波数特性 雜音	60dB(1000倍)以上 10dB連続可変 0.1, 1, 3, 10, 30, 100 gal/cm 0.5~30Hz 100mV以下(入力換算) ドリフト 入力抵抗 適合ガルバ	60dB(1000倍)以上 10dB連続可変 0.1, 1, 3, 10, 30, 100 gal/cm 0.5~30Hz 100mV以下(入力にて) 5kΩ G-100C(三葉測器)	
直記式電磁オシログラフ	記録成分数 光学系長さ 光源ランプ 紙送り速度 ガルバ感度 記録紙	6 1.0cm 白熱灯(タングステン) 1.5, 5, 10, 50 cm/sec 1.66mA/mA(G-100C) 9.21mm×305m	記録成分数 光学系長さ 光源ランプ 紙送り速度 ガルバ感度 記録紙	
記録制御器	記録器駆動 印字シグナル タイマー設定時間	AC100V, 0.5A, 4口 無電圧接点 10秒~7分	記録器駆動 印字シグナル タイマー設定時間	
水晶時計	出力波形 出力信号	短形波 1.0秒、毎分の2種	出力波形 出力信号	
同期信号増幅器	入力信号 出力信号 電流出力	1.0秒および毎分 上記の複合波 1cm/0.5V(G-100C)	入力信号 出力信号 電流出力	
時刻印字器	印字内容 印字信号	月、日、時、分 無電圧接点	印字内容 印字信号	
電源	入力電圧 降圧整流 AVR 蓄電池 インバータ	AC100V DC±24V 入力電圧±24V、出力電圧±15V フローティング充電20Ah, 40Ah 2回路 入力DC24V、出力AC100V	入力電圧 降圧整流 AVR 蓄電池 インバータ	

表 - 3 観測された地中地震動加速度

(1) 富津岬における地震記録

(単位 gal)

地震発生年月日時分	震源地	-110m		-70m		地表面					
		M	UD	NS	EW	UD	NS				
1970.2.24 11:11	房総半島 59°39'N 139°39'E	30	0.2	0.5	0.5	-0.6	0.7	1.3	1.2		
1970.5.17 11:25	房総半島 59°32'N 139°52'E	70	0.6	0.7	1.6	0.8	1.6	0.9	1.2	2.6	
1970.5.27 21:06	小笠原諸島 440°40'N 140°42'E	440	0.5	1.0	1.3	0.5	1.7	1.2	1.2	2.6	
1970.6.10 22:22	房総半島 59°34'N 139°42'E	50	0.9	1.1	2.9	1.0	3.6	2.1	2.4	5.1	4.8
1970.9.14 18:45	宮城県沖 40°42'N 142°30'E	40	0.7	0.8	1.2	0.6	1.4	1.2	1.0	2.3	2.1
1970.9.30 4:26	房総岬下水 35°26'N 139°36'E	50	6.4	7.8	11.2	4.2	16.0	9.8	8.4	28.2	29.4

(2) 浮島公園における地震記録

*補正後の値

地震発生年月日時分	震源地	-127m		-67m		-27m		地表面			
		M	UD	NS	EW	UD	NS	EW	UD	NS	
1970.9.30 4:26	多摩川下流 35°26'N 139°36'E	50	18	5.82	3.42	16	5.52	6.03	3.8	10.67	11.18

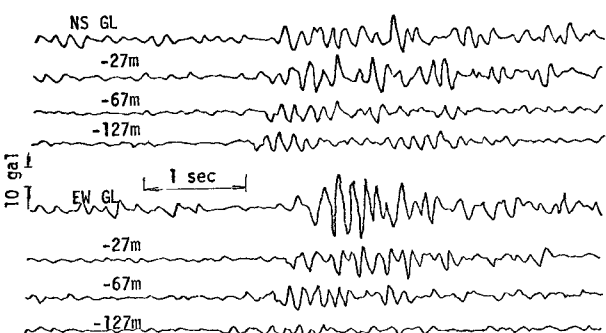


図 - 8 地中地震記録

5. 観測結果の解折

観測によって得られた加速度記録の大部分は、地表面での最大加速度が 5 gal 未満の小さいもので、波形解析の対象としては、図-8 に示す昭和 45 年 9 月 30 日の多摩川下流域地震による浮島公園での記録のうち水平 2 方向の記録を取りあげ、デジタル化した。記録の概要を表-4 に示す。

(1) 深さ方向の最大加速度の分布

表-3 に示す最大加速度について、地表面での最大加速度を 1.0 とした時の各深さでの最大加速度の分布を図-9 に示す。図中の実線は富津岬の場合は、6 地震の平均値を示す、いざれにせよ、地中部では何割かの加速度の減少はみられるが、その減少の様子は必ずしも深さ方向に一様ではなく、記録の成分方向によっても違う。

(2) 相関関数による波形解折

地中の深さ方向に異なる 2 点での相互相関関数の一例を図-10 に示す。図中縦軸の大きさとしては、記録の遅延時間に対して、相互相関関数の値が最大になる点を 1.0 としている、またこの時の遅延時間が 2 点間を波動が伝播するのに要する時間と考えられるので、この時間と 2 点間の距離から求められる速度が横波の平均伝播速度 V_s であるとみなしうる。浮島公園の観測地点においては弾性波試験は行なわなかつたが、図-10 中に示す速度は他の資料と比較して妥当な数値であると考えられる。

6. あとがき

紙面の都合で記録の解折結果について、特に周期特性について述べることができなかつたが、当日発表する予定である。また地中における波動の伝播について重複反射理論の面からも研究を進めていきたいと考えている。

参考文献

- 1) 藤原俊郎 他 日本地震工学シンポジウム (1966)
- 2) 大沢 肥 他 4 th W C E E (1969)
- 3) 多治見宏 他 3 th W C E E (1965)

表-4 デジタル化した地中地震記録

Index No	地震番号	記録時間 (sec)	データ数	最大加速度 (gal)	震源距離
1001	2002-GL-1 E-W	20.06	535	17.76	4.86
1002	2002-27-1 E-W	20.00	486	11.18	5.06
1003	2002-67-1 E-W	20.00	517	6.03	4.47
1004	2002-127-1 E-W	20.10	499	3.42	4.49
1005	2002-GL-1 N-S	20.04	609	11.84	5.40
1006	2002-27-1 N-S	20.05	526	10.67	4.84
1007	2002-67-1 N-S	20.07	488	5.53	4.31
1008	2002-127-1 N-S	20.04	500	5.82	4.26

(注) 最大加速度は補正後の値

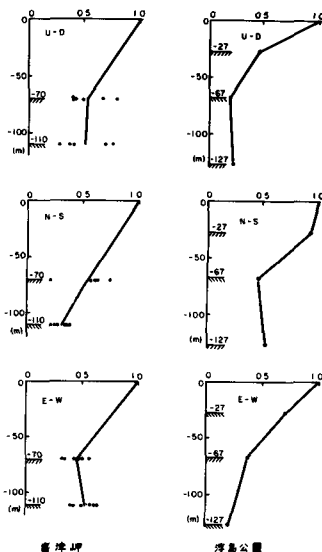


図-9 深さ方向の最大加速度の分布

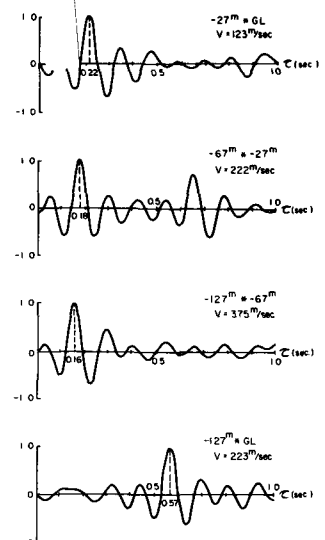


図-10 相互相関関数(浮島公園 E-W)